

• 论 著 •

miR-4435 对鼻咽癌细胞生物学行为的影响研究*王 挺¹, 张 杨¹, 郭 洁¹, 范崇盛^{1△}, 蒋 伟²

(1. 郑州大学附属洛阳中心医院耳鼻咽喉头颈外科, 河南 洛阳 471000;

2. 桂林医学院附属医院肿瘤科, 广西 桂林 541001)

[摘要] 目的 探讨 miR-4435 通过调控细胞周期相关蛋白 1(CAPRIN1)表达对鼻咽癌细胞生物学行为的影响。方法 采用荧光定量聚合酶链式反应检测 miR-4435 在人鼻咽癌细胞系 CNE-2Z、C666-1、SUNE-1、HNE-1 和永生化鼻咽上皮细胞 NP69 中的表达水平。采用 miR-4435 模拟物和对照 miR-NC 转染 C666-1 细胞, 分为 miR-4435 组和 miR-NC 组。比较 2 组 C666-1 细胞增殖、细胞周期变化情况, 以及 CAPRIN1 mRNA、CAPRIN1 蛋白、周期蛋白依赖性激酶 1(CDK1)、细胞周期蛋白 B(Cyclin B)、Cyclin E 蛋白表达水平。采用双荧光素酶活性报告实验验证 miR-4435 与 CAPRIN1 的靶向结合。结果 与 NP69 细胞相比, CNE-2Z、C666-1、SUNE-1、HNE-1 细胞中 miR-4435 相对表达水平显著下调($F=18.92, P<0.01$), C666-1 细胞中 miR-4435 相对表达水平下调最明显($P<0.01$)。miR-NC 组和 miR-4435 组 miR-4435 在 C666-1 细胞中的相对表达水平分别为(0.19±0.02)、(0.99±0.09), 二者比较, 差异有统计学意义($t=14.55, P<0.01$)。与 miR-NC 组相比, miR-4435 组 C666-1 细胞增殖能力在第 2、3、4、5 天时明显被抑制($P<0.05$)。与 miR-NC 组比较, miR-4435 组 C666-1 细胞在 G₀/G₁ 期的细胞数量明显增加($t=4.69, P<0.01$), 而在 S 期和 G₂/M 期的细胞数量明显减少($t=4.32, P<0.01$; $t=4.79, P<0.01$)。转染 miR-4435 显著降低了含有 CAPRIN1 WT 的 C666-1 细胞荧光素酶活性($t=13.54, P<0.01$)。miR-NC 组、miR-4435 组 CAPRIN1 mRNA 在 C666-1 细胞中的相对表达水平分别为(5.08±0.34)、(1.01±0.09), 二者比较, 差异有统计学意义($t=11.54, P<0.01$)。与 miR-NC 组比较, miR-4435 组 C666-1 细胞中 CAPRIN1、CDK1、Cyclin B、Cyclin E 蛋白表达水平降低, 差异有统计学意义($P<0.01$)。结论 miR-4435 能抑制鼻咽癌细胞增殖和细胞周期进展, 并通过抑制 CAPRIN1 表达而作为抑癌基因发挥作用。

[关键词] 鼻咽癌; miR-4435; 细胞周期相关蛋白 1; 细胞生物学**DOI:** 10.3969/j.issn.1009-5519.2025.06.001 **中图法分类号:** R739.63**文章编号:** 1009-5519(2025)06-1297-05**文献标识码:** A**Effect of miR-4435 on malignant behavior of nasopharyngeal carcinoma cells***WANG Ting¹, ZHANG Yang¹, GUO Jie¹, FAN Chongsheng^{1△}, JIANG Wei²

(1. Department of Otolaryngology Head and Neck Surgery, Luoyang Central Hospital Affiliated to Zhengzhou University, Luoyang, Henan 471000, China;

2. Department of Oncology, Affiliated Hospital of Guilin Medical College, Guilin, Guangxi 541001, China)

[Abstract] **Objective** To investigate the effect of miR-4435 on the biological behavior of nasopharyngeal carcinoma by regulating the expression of cell cycle associated protein 1(CAPRIN1). **Methods** The expression levels of miR-4435 in human nasopharyngeal carcinoma cell lines CNE-2Z, C666-1, SUNE-1, HNE-1 and immortalized nasopharyngeal epithelial cell NP69 were detected by fluorescence quantitative polymerase chain reaction. C666-1 cells were transfected with miR-4435 mimics and control mir-nc, and divided into miR-4435 group and miR-NC group. The proliferation and cell cycle changes of c666-1 cells, as well as the expression levels of CAPRIN1 mRNA, CAPRIN1 protein, cyclin dependent kinase 1(CDK1), Cyclin B and Cyclin E were compared between the two groups. The targeted binding of miR-4435 to CAPRIN1 was verified by double luciferase activity report assay. **Results** Compared with NP69 cells, the relative expression level of miR-4435 in

* 基金项目: 国家自然科学基金项目(81760546)。

作者简介: 王挺(1986—), 硕士研究生, 主治医师, 主要从事鼻咽癌发生和发展的机制研究。 △ 通信作者, E-mail: lyszxyyebh@163.com。

CNE-2Z, C666-1, SUNE-1 和 HNE-1 细胞显著减少 ($F = 18.92, P < 0.01$), 而且 miR-4435 的相对表达水平在 C666-1 细胞中显著降低 ($P < 0.01$)。miR-4435 在 C666-1 细胞中的相对表达水平为 (0.19 ± 0.02) 和 (0.99 ± 0.09) 分别在 miR-NC 组和 miR-4435 组, 分别, 差异有统计学意义 ($t = 14.55, P < 0.01$)。与 miR-NC 组相比, miR-4435 组 C666-1 细胞的增殖能力显著抑制在第 2、3、4、5 天 ($P < 0.05$)。与 miR-NC 组相比, C666-1 细胞在 G₀/G₁ 期显著增加, 在 S 期和 G₂/M 期显著减少 ($t = 4.69, P < 0.01$; $t = 4.32, P < 0.01$; $t = 4.79, P < 0.01$)。转染 miR-4435 显著降低了含 CAPRIN1 WT 的 C666-1 细胞的 luciferase 活力 ($t = 13.54, P < 0.01$)。miR-4435 的相对表达水平在 miR-NC 组和 miR-4435 组的 C666-1 细胞中分别为 (5.08 ± 0.34) 和 (1.01 ± 0.09), 分别, 差异有统计学意义 ($t = 11.54, P < 0.01$)。与 miR-NC 组相比, CAPRIN1、CDK1、Cyclin B 和 Cyclin E 蛋白的表达显著降低在 miR-4435 组的 C666-1 细胞中 ($P < 0.01$)。结论 miR-4435 可以抑制鼻咽癌细胞的增殖和细胞周期进展, 作为肿瘤抑制基因通过抑制 CAPRIN1 的表达发挥作用。

[Key words] 鼻咽癌; miR-4435; CAPRIN1; 细胞周期蛋白 1; 细胞生物学

鼻咽癌是一种常见的头颈部恶性肿瘤, 其细胞分化程度较低, 呈现易转移和易复发的特点^[1]。由于鼻咽癌缺乏有效的诊断标志物, 并且发病部位隐匿, 多数患者早期诊断困难。而且, 鼻咽癌患者 5 年生存率较低^[2-3]。鼻咽癌基因谱的研究可能有助于鼻咽癌的临床诊断和治疗。

微小 RNA(miRNA)是一种短链非编码 RNA, 通过与靶基因的序列特异性配对, 诱导靶基因降解或抑制其翻译^[4]。大量证据显示, miRNA 在多种肿瘤细胞中发挥癌基因或抑癌基因作用, 参与调控细胞代谢、增殖、衰老等相关基因的表达, 可能成为肿瘤的分子标志物和治疗靶点^[5-7]。以往的研究表明, miR-4435 在乳腺癌、结直肠癌中表达异常, 在肿瘤的发生过程中发挥重要作用^[8-9]。然而, miR-4435 在鼻咽癌中的研究较少见。本研究主要分析 miR-4435 在鼻咽癌细胞系中的表达, 确定 miR-4435 对鼻咽癌细胞增殖和细胞周期的影响, 并探讨其分子机制。

1 材料与方法

1.1 主要材料与试剂 鼻咽癌细胞系 CNE-2Z、C666-1、SUNE-1、HNE-1 和永生化鼻咽上皮细胞 NP69 购自上海源叶生物科技有限公司。RPMI 1640 培养基、K-SFM 培养基购自美国 HyClone 公司。细胞周期试剂盒购自美国 Sigma 公司。对照 miR-NC、miR-4435 模拟物购自上海翊圣生物科技有限公司。Lipofectamine 3000、二喹啉甲酸(BCA)蛋白检测试剂盒购自美国 Invitrogen 公司。双荧光素酶载体、SYBR 试剂盒购自武汉博士德生物工程有限公司。双荧光素酶活性试剂盒购自美国 Thermo 公司。兔源细胞周期相关蛋白 1(CAPRIN1)、β-肌动蛋白(β-actin)、周期蛋白依赖性激酶 1(CDK1)、细胞周期蛋白 B(Cyclin B)、Cyclin E 蛋白一抗抗体购自美国

NEB 公司。

1.2 方法

1.2.1 细胞培养和分组 NP69 细胞培养于含 12% 胎牛血清的 K-SFM 培养基, CNE-2Z、C666-1、SUNE-1、HNE-1 细胞培养于含 12% 胎牛血清的 RPMI 1640 培养基, 在 37 °C、5% 二氧化碳培养箱中培养。将 C666-1 细胞消化并制成单细胞悬液, 以 5×10^5 个/孔接种于 12 孔板, 每孔 1.5 mL, 培养过夜。采用 Lipofectamine 3000 试剂分别转染对照 miR-NC、miR-4435 模拟物至 C666-1 细胞, 记为 miR-NC 组和 miR-4435 组, 在培养箱中再培养 47 h。

1.2.2 细胞中 miR-4435、CAPRIN1 mRNA 表达水平检测 按照试剂说明书, 从鼻咽癌细胞系中提取总 RNA, 对提取的 miRNA 或 mRNA 进行逆转录。特异性引物序列见表 1, 荧光定量聚合酶链式反应(qPCR)反应体积为 30 μL, 以 U6 snRNA 为内参对 miR-4435 表达进行定量, 以 GAPDH 为内参对 CAPRIN1 mRNA 表达进行定量。采用 $2^{-\Delta\Delta Ct}$ 法比较 miR-4435、CAPRIN1 mRNA 相对表达水平。

表 1 qPCR 引物序列

基因	序列(5'-3')
miR-4435	上游: CCAGAGCTCACACAGAGGG 下游: TCGTATCCAGTCAGGGTCC
GAPDH	上游: AAATCCCACCATCTTCCAG 下游: TGATGACCCTTTGGCTCCC
U6 snRNA	上游: GCTTCGGCAGCACATATACT 下游: GTGCAGGGTCCGAGGTATTG
CAPRIN1	上游: TCTCGGGTGATCGACAAGAA 下游: CCCTTGTTCAATTGTTCTGG

1.2.3 miR-4435 对 C666-1 细胞增殖影响测定 将转染后各组 C666-1 细胞密度调整为 4×10^4 个/孔, 分别以 150 μL 接种在 96 孔板。在培养 1、2、3、4、5 d 后, 在每孔中加入 5 $\mu\text{g}/\text{mL}$ 的细胞计数试剂盒 8 (CCK-8) 试剂, 培养箱内处理 3 h。在全自动酶标仪中, 读取各孔在 450 nm 处 C666-1 细胞的吸光度 (A) 值。

1.2.4 miR-4435 对 C666-1 细胞周期影响测定 收集各组 C666-1 细胞, 用预冷磷酸盐缓冲液 (PBS) 洗涤 5 次, 去上清后加入预冷的 75% 乙醇, 涡旋混合 10 s, 4 °C 固定 7 h。用预冷 PBS 洗涤 5 次, 去上清后加入 400 μL 含 RNA 酶的碘化丙啶试剂, 37 °C 孵育 20 min。上流式细胞仪检测, 采用 Kaluza Analysis 软件处理数据。

1.2.5 miR-4435 与 CAPRIN1 靶向关系测定 采用 DIANA-microT 数据库 (<http://diana.imis.athenainnovation.gr/DianaTools/index.php>) 预测 miR-4435 的靶基因。将 CAPRIN1 mRNA 的野生型 (WT) 及突变型 (MUT) miR-4435 结合序列克隆到双荧光素酶载体中, 采用 Lipofectamine 3000 将 CAPRIN1 mRNA 的重组质粒 (WT 和 MUT) 与 miR-4435 模拟物或 miR-NC 共转染 C666-1 细胞。培养箱内孵育 46 h, 用双荧光素酶检测系统定量每组 C666-1 细胞的荧光素酶活性。

1.2.6 C666-1 细胞中 CAPRIN1、CDK1、Cyclin B、Cyclin E 蛋白表达水平检测 收集各组 C666-1 细胞并提取总蛋白, 采用 BCA 试剂盒定量各组蛋白水平, 将蛋白样品在聚丙烯酰胺凝胶中电泳分离, 进一步转移到硝酸纤维素膜, 于 7% 牛血清白蛋白溶液中封闭 40 min。加入一抗 CAPRIN1 (1:3 000 稀释)、CDK1 (1:2 000 稀释)、Cyclin B (1:3 000 稀释)、 β -actin (1:3 000 稀释)、Cyclin E (1:2 000 稀释), 4 °C 孵育 9 h。用 TBST 溶液洗涤 4 次, 加入二抗 (1:8 000 稀释), 26 °C 孵育 80 min。用 TBST 溶液洗涤 4 次, 加入电化学发光工作溶液, 孵育 40 s, 在成像分析仪中曝光、成像。

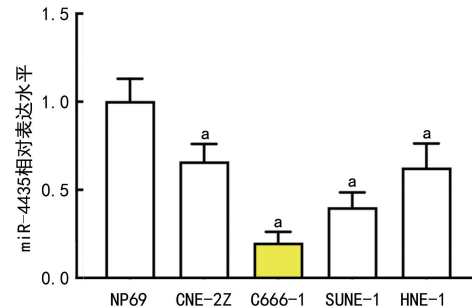
1.3 统计学处理 通过 SPSS22.0 软件对数据进行分析, 使用 GraphPad7.0 软件进行绘图。计量资料以 $\bar{x} \pm s$ 表示, 2 组间数据比较采用配对 *t* 检验, 多组间数据比较采用单因素方差分析。 $P < 0.05$ 为差异有统计学意义。

2 结 果

2.1 鼻咽癌细胞系中 miR-4435 表达水平比较 与 NP69 细胞相比, CNE-2Z、C666-1、SUNE-1、HNE-1 细胞中 miR-4435 相对表达水平显著下调 ($F = 18.92, P < 0.01$), C666-1 细胞中 miR-4435 相对表达水平下调最明显 ($P < 0.01$)。见图 1。

2.2 miR-4435 模拟物转染效率比较 miR-NC 组、

miR-4435 组 miR-4435 在 C666-1 细胞中的相对表达水平分别为 (0.19 ± 0.02)、(0.99 ± 0.09), 二者比较, 差异有统计学意义 ($t = 14.55, P < 0.01$)。

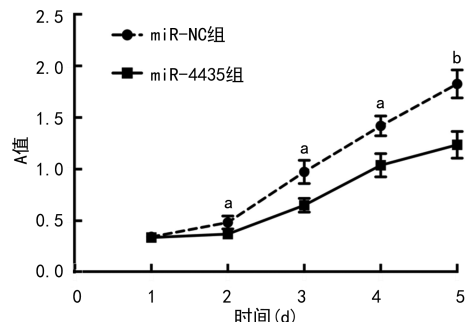


注: 与 NP69 细胞比较, ^a $P < 0.01$ 。

图 1 miR-4435 在鼻咽癌细胞系中的表达水平

2.3 miR-4435 对 C666-1 细胞增殖的影响 与 miR-NC 组相比, miR-4435 组 C666-1 细胞增殖能力在第 2、3、4、5 天时明显被抑制 ($t = 3.04, P < 0.05$; $t = 4.26, P < 0.05$; $t = 4.47, P < 0.05$; $t = 5.41, P < 0.01$)。见图 2。

2.4 miR-4435 对 C666-1 细胞周期的影响 与 miR-NC 组比较, miR-4435 组 C666-1 细胞在 G₀/G₁ 期的细胞数量明显增加 ($t = 4.69, P < 0.01$), 而在 S 期和 G₂/M 期的细胞数量明显减少 ($t = 4.32, P < 0.01$; $t = 4.79, P < 0.01$)。见图 3。



注: 与 miR-NC 组比较, ^a $P < 0.05$, ^b $P < 0.01$ 。

图 2 miR-4435 对 C666-1 增殖的影响

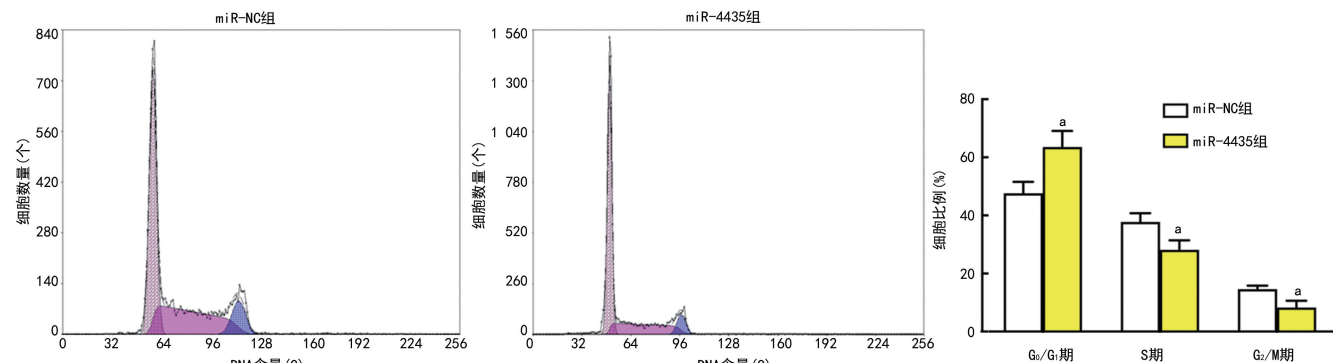
2.5 miR-4435 与 CAPRIN1 在鼻咽癌中靶向关系的验证 DIANA-microT 数据库显示, miR-4435 与 CAPRIN1 mRNA 具有结合位点, CAPRIN1 可能是 miR-4435 靶基因 (图 4)。双荧光素酶活性报告实验显示 (图 5), 转染 miR-4435 显著降低了含有 CAPRIN1 WT 的 C666-1 细胞荧光素酶活性 ($t = 13.54, P < 0.01$)。

2.6 miR-4435 对 CAPRIN1 mRNA 表达的影响 miR-NC 组、miR-4435 组 CAPRIN1 mRNA 在 C666-1 细胞中的相对表达水平分别为 (5.08 ± 0.34)、(1.01 ± 0.09), 二者比较, 差异有统计学意义 ($t = 11.54, P < 0.01$)。

2.7 miR-4435 对 C666-1 细胞中 CAPRIN1 蛋白和周期蛋白表达的影响 与 miR-NC 组比较, miR-4435

组 C666-1 细胞中 CAPRIN1、CDK1、Cyclin B、Cyclin E 蛋白表达水平降低, 差异有统计学意义($P < 0.01$)。

见图 6。



注:与 miR-NC 组比较,^a $P < 0.01$ 。

图 3 miR-4435 对鼻咽癌细胞 C666-1 细胞周期的影响

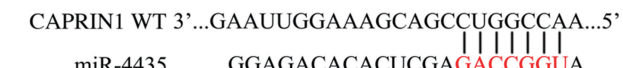
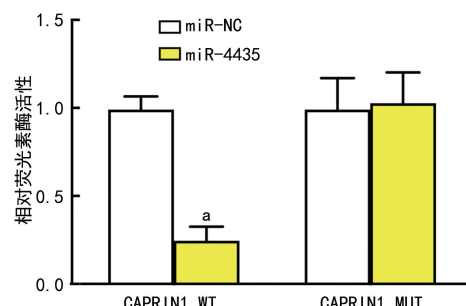


图 4 miR-4435 与 CAPRIN1 在鼻咽癌中的靶向位点



注:与 miR-NC 相比,^a $P < 0.01$ 。

图 5 双荧光素酶活性报告实验验证 miR-4435 与 CAPRIN1 的靶向关系

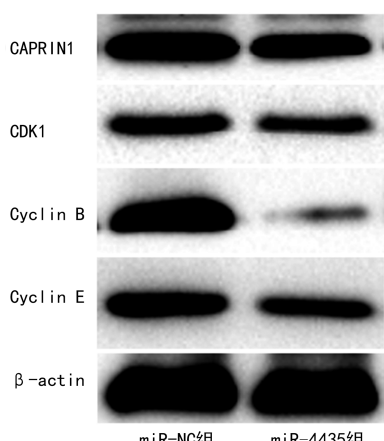


图 6 miR-4435 对鼻咽癌细胞 C666-1 中 CAPRIN1 蛋白和周期蛋白表达的影响

3 讨 论

miRNA 是人类细胞非编码 RNA 的重要组成部分, 先前研究证实 miRNA 广泛参与调控人类细胞的生长、分化、增殖、发育等生物学行为^[10]。随着高通量测序的发展, 对鼻咽癌基因表达谱的研究显示, 多种

miRNA 的异常表达与鼻咽癌的恶性生物学行为密切相关^[11-12]。CAO 等^[13]研究显示, 在顺铂耐药的鼻咽癌组织和细胞系中, miR-106a-5p 表达上调, 在顺铂耐药的鼻咽癌细胞中, 过表达 miR-106a-5p 会增加细胞对顺铂的敏感性, 并降低细胞的活力、迁移和侵袭能力, 以及化疗耐药相关蛋白的表达, 同时增加细胞凋亡。CAI 等^[14]研究显示, 鼻咽癌组织和细胞系中 miR-26a-5p 表达水平显著降低, 过表达 miR-26a-5p 能够抑制鼻咽癌细胞的活力、增殖、迁移和侵袭能力。MOSAPOUR 等^[9]研究显示, 在乳腺癌组织中, miR-4435 表达水平显著下调, 发挥抑癌基因作用, 可作为乳腺癌诊断的生物标志物。目前, miR-4435 在鼻咽癌细胞中的功能并不清楚, 其下游靶标的研

究少见。本研究结果显示, miR-4435 在鼻咽癌细胞系中的相对表达水平显著下调。在细胞实验中发现, miR-4435 能够抑制鼻咽癌细胞的增殖和细胞周期进展, 提示 miR-4435 在鼻咽癌中作为抑癌基因存在。随着分子生物学的发展, miRNA 被证实能够以完全或不完全配对的方式结合靶基因 mRNA, 通过抑制靶基因 mRNA 的翻译或诱导其降解, 下调靶基因的表达^[15-17]。例如, miR-212-5p 通过配对结合甲基转移酶样 3(METTL3)基因 mRNA, 下调 METTL3 的表达, 进而抑制鼻咽癌细胞的增殖并促进细胞凋亡^[15]。本研究采用 DIANA-microT 数据库分析显示, CAPRIN1 可能是 miR-4435 的靶基因。CAPRIN1 基因定位在人染色体 11p13 区域, 负责编码长度为 709 个氨基酸的磷蛋白^[18]。CAPRIN1 是一个高度保守的蛋白质, 其可促进细胞的增殖和细胞周期进展, 同时参与细胞的应激反应及炎症的发生^[19]。越来越多的研究证实, 在胃癌、结直肠癌、肝癌等肿瘤中, CAPRIN1 表达水平上调, 与肿瘤患者较差的总生存率明显相关, 其可促进肿瘤的生长和耐药^[20-21]。YANG

等^[22]研究显示,CAPRIN1 在鼻咽癌组织和细胞系中高表达,敲降 CAPRIN1 可明显抑制鼻咽癌的恶性生物学行为。本研究通过双荧光素酶活性报告实验证实,CAPRIN1 是 miR-4435 的靶基因,且进一步证实,CAPRIN1 表达水平受 miR-4435 的负调控。以上结果表明,miR-4435 在鼻咽癌细胞中发挥作用是通过靶向调节 CAPRIN1 基因表达实现的。

综上所述,miR-4435 在鼻咽癌细胞系中表达下调,其可抑制鼻咽癌细胞的增殖和细胞周期进展,并通过抑制 CAPRIN1 表达而作为抑癌基因发挥作用。

参考文献

- [1] LIU F, GAO C, WANG W, et al. miR-137/ERR α axis mediates chemoresistance of nasopharyngeal carcinoma cells[J]. *J Cell Commun Signal*, 2022, 16(1): 103-113.
- [2] CHEN Z, GONG Q, LI D, et al. CircKIAA0368 promotes proliferation, migration, and invasion by upregulating HOXA10 in nasopharyngeal carcinoma[J]. *Am J Rhinol Allergy*, 2022, 36(5): 615-627.
- [3] LU B, LI X, MIAO W, et al. LncRNA ZFAS1 promotes laryngeal cancer progression through RBFOX2-mediated MENA alternative splicing[J]. *Environ Toxicol*, 2023, 38(3): 522-533.
- [4] GONG Y, JIANG Q, LIU L, et al. METTL3-mediated m6A modification promotes processing and maturation of pri-miRNA-19a to facilitate nasopharyngeal carcinoma cell proliferation and invasion [J]. *Physiol Genomics*, 2022, 54(9): 337-349.
- [5] HUANG P, LI M, TANG Q, et al. Circ_0000523 regulates miR-1184/COL1A1/PI3K/Akt pathway to promote nasopharyngeal carcinoma progression [J]. *Apoptosis*, 2022, 27(9-10): 751-761.
- [6] LI C W, ZHENG J, DENG G Q, et al. Exosomal miR-106a-5p accelerates the progression of nasopharyngeal carcinoma through FBXW7-mediated TRIM24 degradation[J]. *Cancer Sci*, 2022, 113(5): 1652-1668.
- [7] WARDANA T, CHASANAH S N, OKTRIANI R, et al. Circulation microRNA expression profiles in patients with complete responses to chemoradiotherapy in nasopharyngeal carcinoma[J]. *Noncoding RNA Res*, 2022, 7(4): 233-241.
- [8] HONG J W, KIM J M, KIM J E, et al. MiR-4435 is an UQCRB-related circulating miRNA in human colorectal cancer[J]. *Sci Rep*, 2020, 10(1): 2833.
- [9] MOSAPOUR A, KARAMI TEHRANI F S, ATRI M. Differential expression of miR-1297, miR-3191-5p, miR-4435, and miR-4465 in malignant and benign breast tumors[J]. *Iran J Basic Med Sci*, 2020, 23(8): 1045-1052.
- [10] LUO H, ZHONG F, JING X, et al. miRNA profiling of human nasopharyngeal carcinoma cell lines HONE1 and CNE2 after X-ray therapy[J]. *Adv Clin Exp Med*, 2022, 31(6): 671-687.
- [11] PENG L, CHEN J, LU H, et al. miR-3942-3p Increases the radiosensitivity of nasopharyngeal carcinoma through negatively regulating BARD1 [J]. *Acta Biochim Pol*, 2022, 69(2): 335-341.
- [12] SUN Y, LIU Y, DU Z, et al. CircSOX9 acts as a molecular sponge of miR-485-3p to promote the progression of nasopharyngeal carcinoma[J]. *Aging (Albany NY)*, 2022, 14(11): 4914-4926.
- [13] CAO W, SUN Y, LIU L, et al. HOTAIR mediates cisplatin resistance in nasopharyngeal carcinoma by regulating miR-106a-5p/SOX4 axis[J]. *Bioengineered*, 2022, 13(3): 6567-6578.
- [14] CAI B, QU X, KAN D, et al. miR-26a-5p suppresses nasopharyngeal carcinoma progression by inhibiting PTGS2 expression[J]. *Cell Cycle*, 2022, 21(6): 618-629.
- [15] ZHOU H, ZHANG N. miR-212-5p inhibits nasopharyngeal carcinoma progression by targeting METTL3 [J]. *Open Med (Wars)*, 2022, 17(1): 1241-1251.
- [16] ZHANG S, WANG B, ZHENG L, et al. Advances in research on microRNAs related to the invasion and metastasis of nasopharyngeal carcinoma[J]. *Curr Mol Pharmacol*, 2022, 15(3): 463-474.
- [17] WANG L J, WANG Y S, ZHAO Y. LncRNA IGBP1-AS1 targets miR-150-5p to increase ZEB1 expression in nasopharyngeal carcinoma[J]. *Transl Cancer Res*, 2022, 11(3): 530-537.
- [18] PAVINATO L, DELLE VEDOVE A, CARLI D, et al. CAPRIN1 haploinsufficiency causes a neurodevelopmental disorder with language impairment, ADHD and ASD [J]. *Brain*, 2023, 146(2): 534-548.
- [19] KEDERSHA N, PANAS M D, ACHORN C A, et al. G3BP-Caprin1-USP10 complexes mediate stress granule condensation and associate with 40S subunits[J]. *J Cell Biol*, 2016, 212(7): 845-860.
- [20] ZHUO Z L, XIAN H P, SUN Y J, et al. Long noncoding RNA ZNFX1-AS1 promotes the invasion and proliferation of gastric cancer cells by regulating LIN28 and CAPRIN1[J]. *World J Gastroenterol*, 2022, 28(34): 4973-4992.
- [21] LI X Q, SONG J Y, LU W, et al. Circular circ_0000885 promotes hepatocellular carcinoma proliferation by epigenetically upregulating Caprin1[J]. *Eur Rev Med Pharmacol Sci*, 2019, 23(18): 7848-7854.
- [22] YANG T, HUANG L, QIN H, et al. STRESS granule-associated RNA-binding protein CAPRIN1 drives cancer progression and regulates treatment response in nasopharyngeal carcinoma[J]. *Med Oncol*, 2022, 40(1): 47.